



## وارون‌سازی و تفسیر داده‌های گرانی منطقه زمین‌گرمایی محلات

سهیل پیغمبریان<sup>۱</sup>، محمد محمدزاده مقدم<sup>۲</sup>، جواد نوعلیئی<sup>۳</sup>، داور ابراهیمی<sup>۳</sup>، سعید میدرائی<sup>۴</sup>

### نسمه میدریان دهگردی<sup>۴</sup>

(۱) دانشگاه آزاد اسلامی - واحد کرج، کرج، ایران

(۲) پژوهشکده علوم پایه کاربردی، جهاد دانشگاهی دانشگاه شهید بهشتی

(۳) گروه انرژی‌های نو، پژوهشگاه نیرو، وزارت نیرو، تهران، ایران

دریافت: ۹۳/۷/۹؛ دریافت اصلاح شده: ۹۳/۱۲/۲۸؛ پذیرش: ۹۳/۱۲/۲۸؛ قابل دسترس در تاریخ: ۹۴/۹/۱۵

### چکیده

به منظور بررسی ساختارهای زمین‌شناسی و شناسایی منطقه زمین‌گرمایی محلات، عملیات گرانی‌سنجدی در محدوده‌ای به وسعت حدود ۲۰۰ کیلومترمربع اطراف چشممه‌های آبگرم محلات در پاییز و زمستان ۱۳۹۱ انجام شد. پس از انجام تصحیحات مربوط به داده‌های گرانی شامل بوگه، توپوگرافی و هوای آزاد، نقشه بی‌هنچاری بوگه کامل به دست آمد. نقشه بی‌هنچاری باقی مانده نیز با استفاده از برازش یک سطح منحنی درجه دوم محاسبه گردید. بررسی این دو نقشه وجود ۴ زون بی‌هنچاری منفی (A1 تا A4) را آشکار نمود. زون‌های منفی به عنوان نواحی احتمالی وجود مخزن در یک سامانه زمین‌گرمایی مورد توجه هستند. همچنین نقشه گرادیان‌های افقی و قائم میدان گرانی حاکی از وجود ساز و کارگسلی پیچیده در منطقه است. در نهایت وارون‌سازی سه بعدی داده‌ها با استفاده از الگوریتم غیرخطی لی-اولدنبرگ انجام شد. نتایج این مدل‌سازی نشان می‌دهد که فقط زون A1 دارای تباين چگالی منفی قابل توجهی بوده و به نظر می‌رسد مخزن زمین‌گرمایی محلات در این زون و در عمق بین ۱۰۰۰ تا ۴۰۰۰ متری قرار دارد.

### واژه‌های کلیدی: گرانی‌سنجدی، بی‌هنچاری بوگه، مشتقه‌های گرانی، سامانه زمین‌گرمایی، محلات

بسیار مناسبی برای شناسایی و اکتشاف منابع زمین‌گرمایی در مناطق

مستعد است، استفاده از این روش در نقاط مختلف دنیا نتایج به منظور شناسایی و اکتشاف منابع انرژی زمین‌گرمایی، شناسایی ساختارهای زمین‌شناسی با چگالی‌های متفاوت که با عملیات گرانی سودمندی را عرضه کرده است؛ به عنوان مثال: بررسی توپوگرافی سنگ بستر (سالم و همکاران ۲۰۰۵؛ سوانگونو ۲۰۱۱)، توده‌های نفوذی و ماقمایی مربوط به منشأ گرمای سامانه زمین‌گرمایی (دیرسر و اساس روش گرانی‌سنجدی تب این چگالی است. گرانی‌سنجدی روش

### ۱- مقدمه

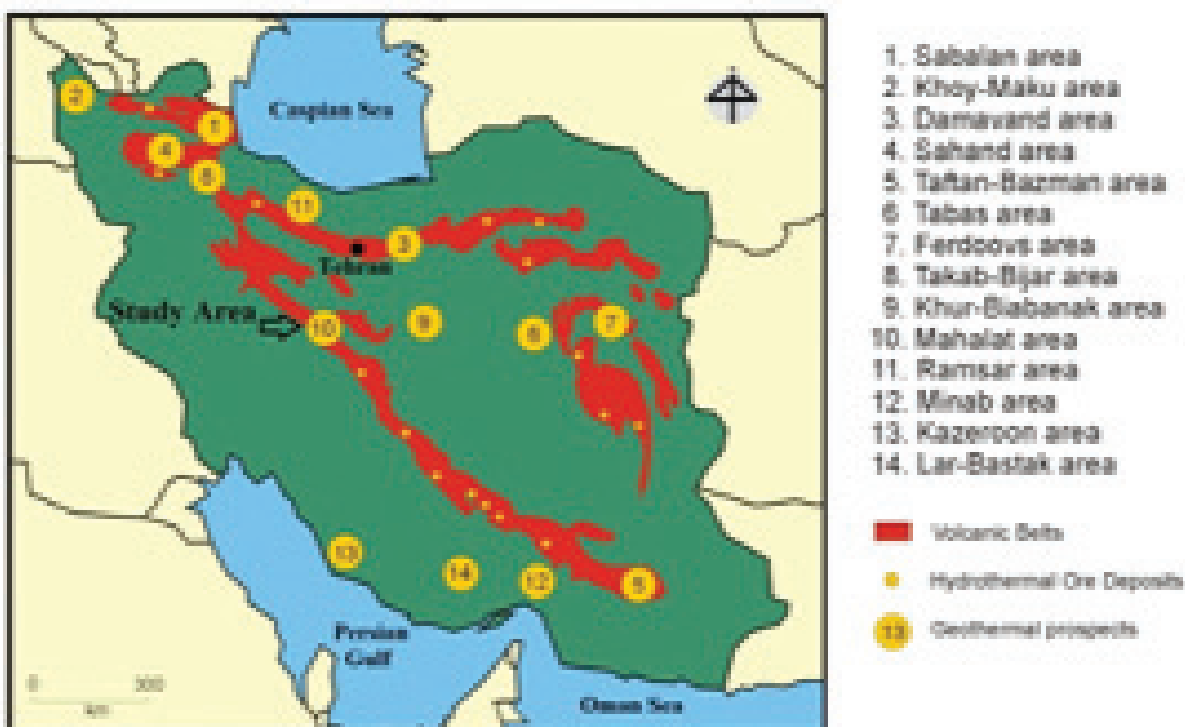
به منظور شناسایی و اکتشاف منابع انرژی زمین‌گرمایی، شناسایی ساختارهای زمین‌شناسی با چگالی‌های متفاوت که با عملیات گرانی سنجی قابل شناسایی است، از اهمیت زیادی برخوردار است. در واقع اساس روش گرانی‌سنجدی تب این چگالی است. گرانی‌سنجدی روش

گسل‌های فعال شمالی-جنوبی کنترل می‌شود. میرزائی و همکاران (۱۳۹۲) با استفاده از مطالعات مغناطیس سنجی زمینی، یک توده آذرین نفوذی و داغ را در عمق بیشتر از یک کیلومتری منطقه، واقع در شرق چشممه‌های آبگرم محلات شناسایی نمودند که این توده می‌تواند نقش منشأ حرارت منبع زمین‌گرمایی محلات را ایفا نماید. همچنین آن‌ها نشان دادند که گسل‌های عمیق و فعال منطقه سبب گردش آب‌های جوی از سطح به عمق شده و پس از عبور آب از میان سنگ‌های داغ دوباره به سمت بالا حرکت نموده و به صورت چشممه‌های آبگرم در سطح زمین نمایان می‌شود. اسکویی و همکاران (۲۰۱۳) و اسکویی و دریجانی (۲۰۱۳) با استفاده از یک نیم رخ ۷ کیلومتری شرقی-غربی شامل ۱۲ ایستگاه مگنتوتولوری کنشان دادند که ساختار سامانه زمین‌گرمایی محلات شامل سنگ پوش (از عمق ۱۰۰ تا ۶۰۰ متر)، مخزن (از عمق ۵۰۰ تا ۲۰۰۰ متر) و منبع (از عمق ۱۰۰۰ متر تا بیشترین عمق قابل بررسی) می‌باشد؛ اما از آنجایی که بررسی و تفسیر آنها دو بعدی بود، نتایج بدست آمده قادر به توصیف مناسبی در مورد نحوه گسترش جانبی سامانه زمین‌گرمایی محلات نبودند.

مطالعه گرانی سنجی ارائه شده در این تحقیق اکثر محدوده‌های اکتشافی گذشته با هدف اکتشاف منابع زمین‌گرمایی در این منطقه را همکاران (۲۰۱۳) و گسل‌های خردشده مرتبط با مخزن سامانه زمین‌گرمایی (مونت سینز و همکاران ۲۰۰۳؛ سالم و همکاران ۲۰۰۵؛ اسچیاون و لودو ۲۰۰۷؛ آبی‌بی و هایل ۲۰۰۸؛ گوتسمن و همکاران ۲۰۰۸؛ ریرسز و همکاران ۲۰۱۳). عملیات گرانی سنجی و مغناطیس سنجی از لحاظ اقتصادی جز مقرن به صرفه ترین روش‌های ژئوفیزیکی برای به دست آوردن مدل اولیه و مناسب از ویژگی‌های ساختاری یک سیستم زمین‌گرمایی هستند.

مطالعات سراسری پتانسیل سنجی منابع انرژی زمین‌گرمایی انجام شده توسط سازمان انرژی‌های نو ایران (سانا) از سال ۱۳۷۷ تاکنون، ۱۴ منطقه زمین‌گرمایی مهم را در ایران معرفی می‌کند. تصویر ۱ نحوه پراکندگی این مناطق را نشان می‌دهد. منطقه زمین‌گرمایی محلات به علت وجود چشممه‌های آبگرم متعدد، تکتونیک فعال، نواحی دگرسان شده و رخنمون وسیع تراورتن به عنوان یکی از مهم‌ترین مناطق زمین‌گرمایی در ایران به شمار می‌رود. در سال‌های اخیر فعالیت‌های اکتشافی زیادی توسط سانا و دیگر گروه‌های تحقیقاتی در این منطقه صورت گرفته است. پرخیال و همکاران (۲۰۱۳)، زمین‌شناسی و ژئوشیمی منطقه را به طور کامل بررسی و نشان دادند که فعالیت‌های هیدرولترمال در منطقه محلات عمده‌آ توسط

## Geothermal Prospects of Iran



تصویر ۱- نقشه توزیع نواحی دارای پتانسیل منابع انرژی زمین‌گرمایی در ایران (سازمان انرژی‌های نو ایران، سانا).

محسوب می‌کنند و بعضی دیگر بلوک لوت راقطه مجذبی از آن می‌دانند.

چشمه‌های آبگرم محلات که در فاصله ۱۵ کیلومتری شمال شرقی شهر محلات در میان ارتفاعات بلند منطقه قرار گرفته‌اند و از جمله مهم‌ترین منابع آبگرم استان مرکزی محسوب می‌شوند. منطقه آبگرم محلات بخش کوچکی از پنهان ایران مرکزی است که روی کمر بند آتشفشاری ارومیه- ختر قرار دارد. تصویر ۲ وضعیت زمین‌شناسی منطقه مورد بررسی را نشان می‌دهد (نورعلیئی و شاه‌حسینی ۱۳۹۱).

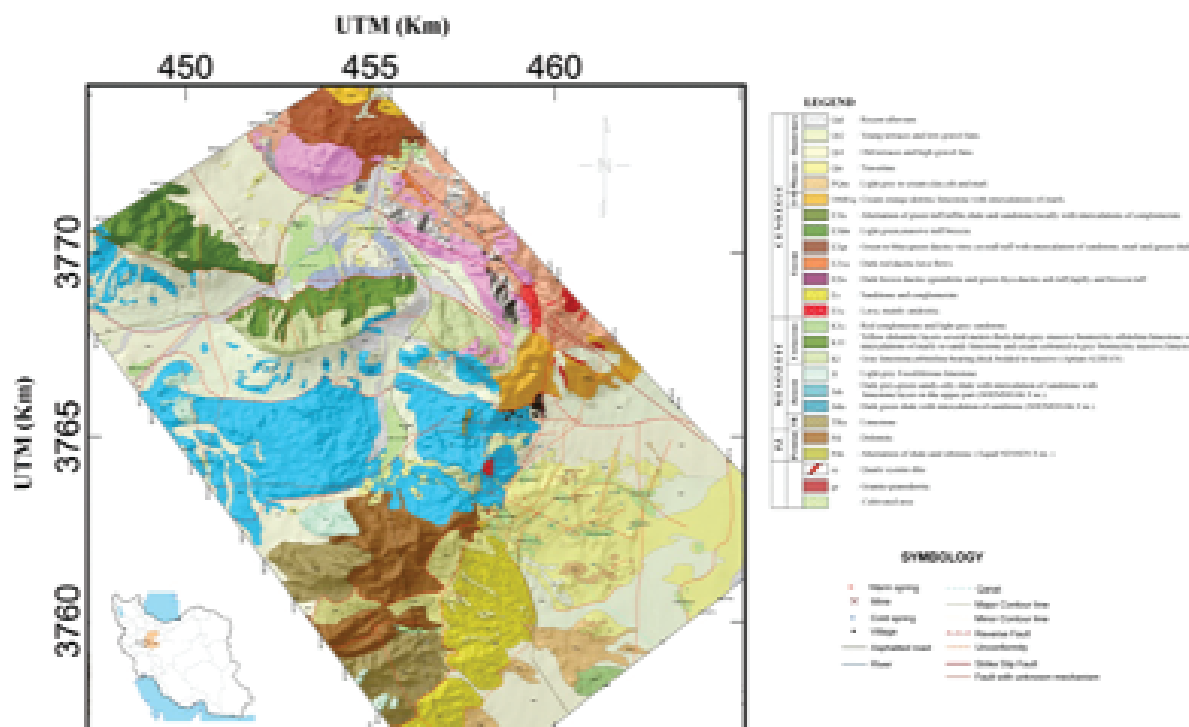
سازاندهای رخنمون یافته در منطقه مورد بررسی عبارت اند از: سازند شمشک با لیتوژوئی شیل و ماسه‌سنگ، واحد آهک اوربیتولین دار کرتاسه، واحد آهک مارنی سازند قم و در مجاورت این سنگ‌های رسوبی، سنگ‌های آذرین شامل گرانودیوریت، توف و گدازه در منطقه رخنمون دارند. چشمه‌های آبگرم محلات از رسوبات تراورتی و آبرفتی خارج می‌شوند.

رسوبات تراورتی که به مرور زمان در اثر ته نشت رسوبات چشمه‌ها به وجود آمده‌اند، همه آن‌ها در مجاورت گسل‌های ناحیه تشکیل شده‌اند و ضخامت قابل توجهی دارند. در گزارش نقشه زمین‌شناسی ۱:۲۵۰۰۰۰ گلپایگان (سازمان زمین‌شناسی کشور)، ضخامت آنها حتی تا ۵۰۰ متر نیز قید شده است. گسل‌ها و

با وضوح مناسب پوشش می‌دهد. در این بررسی تعداد ۳۸۰ ایستگاه گرانی در محدوده‌ای به وسعت حدود ۲۰۰ کیلومتر مربع در شمال شرق محلات برداشت شد. پس از برداشت داده‌های گرانی به همراه مختصات آنها، پردازش داده‌ها شامل تصحیح رانه دستگاه، بوگه، هوای آزاد و توپوگرافی بر روی داده‌ها اعمال و تفسیر داده‌ها با استفاده از نقشه‌های مختلف میدان گرانی و همچنین برگردان سه بعدی داده‌ها باکد نوشته شده توسط لی اولدنبیرگ در قالب برنامه رایانه‌ای Grav3D انجام شد.

## ۴- زمین‌شناسی منطقه مود (درالی)

در تقسیم‌بندی زمین‌ساختی ایران، منطقه محلات در زون آتشفشاری ایران مرکزی واقع شده است. این زون یکی از زون‌های فعال و پرتکاپو در طی دوران‌های متفاوت زمین‌شناسی بوده که به شکل مثلث در مرکز ایران قرار گرفته است. مرز غربی زون پیش‌گفته به زون دگرگونی سنندج- سیرجان محدود می‌شود و مرز آن در استان مرکزی با گسل‌های تلخاب و تبرتنه مشخص می‌شود. زون ایران مرکزی از سمت شمال به زون البرز و از سمت جنوب به زون مکران محدود می‌شود. حد شرقی زون ایران مرکزی چندان مشخص نیست زیرا بعضی از زمین‌شناسان، بلوک لوت را جزئی از ایران مرکزی

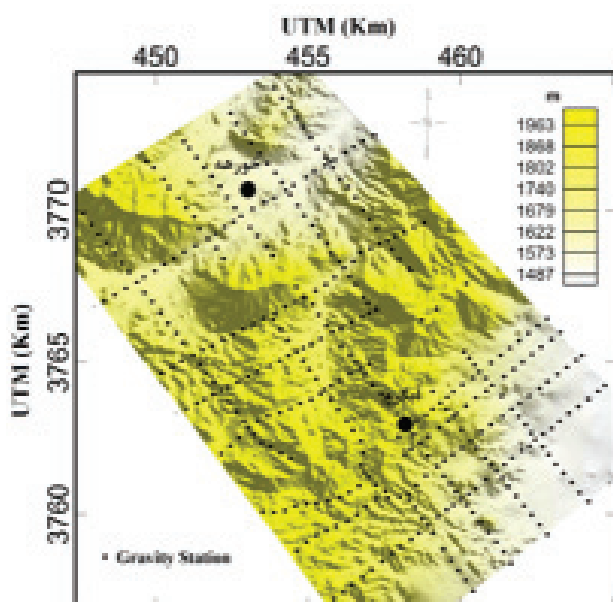


تصویر ۲- نقشه زمین‌شناسی منطقه مورد بررسی (برگرفته از تصاویر ماهواره‌ای استر) (نورعلیئی و شاه‌حسینی ۱۳۹۱).

روی این نقشه نشان داده شده است. همان‌طور که در این نقشه مشاهده می‌شود، در قسمت شمال یک بی‌亨جارتی مثبت (۱۱۰-تا-۱۰۲-میلی‌گال) منطبق بر سنگ‌های آندزیت و داسیت (ADa) دیده می‌شود. همچنین در شرق و جنوب شرق نقشه، یک بی‌亨جارتی مثبت وسیع‌تری وجود دارد که بر تراورتن‌ها و رسوبات آبرفتی (Q) منطبق شده است؛ اما از آن جایی که این رسوبات نمی‌توانند سبب بی‌亨جارتی مذکور شوند، به نظر می‌رسد که توده‌های آذرین نفوذی در اعمق منطقه سبب ایجاد این بی‌亨جارتی مثبت شده‌اند (میرزائی و همکاران، ۱۳۹۲)، بی‌亨جارتی مثبت ضعیف‌تری (۱۱۵-تا-۱۰۸-میلی‌گال) که در جنوب غرب نقشه قرار دارد و به سمت شمال شرق امتداد دارد، تا حد زیادی با دولومیت‌های منطقه (D) منطبق است. دولومیت در بین سنگ‌های رسوبی از چگالی بیشتری برخوردار است.

در قسمت جنوب نقشه یک بی‌亨جارتی منفی (۱۲۹-تا-۱۲۴-میلی‌گال) منطبق بر ماسه سنگ و کنگلومرا (SC) دیده می‌شود. ضخامت به نسبت زیاد کنگلومرا (اسکویی و دریجانی ۲۰۱۳) سبب ایجاد این بی‌亨جارتی منفی شده است. بی‌亨جارتی منفی دیگری در شمال غرب نقشه قرار دارد که بر دولومیت و ماسه سنگ‌های منطقه (DS) منطبق است.

به طور کلی به نظر می‌رسد که سنگ‌های آذرین در شمال و بخصوص در شرق و جنوب شرق منطقه سبب ایجاد یک روند (Trend) منفی گرانی به سمت شمال غرب و غرب منطقه شده است.



تصویر ۳- موقعیت ایستگاه‌های برداشت داده‌های گرانی بر روی نقشه ارتفاعی منطقه‌زمین‌گرمایی محلات.

شکستگی‌های فراوانی که در این منطقه به چشم می‌خورد، در گردش آب از سطح به عمق و بر عکس، نقش مهمی دارند. نکته حائز اهمیت دیگر، محدوده‌های دگرسانی شده فراوان در منطقه است. اغلب دگرسانی‌های منطقه از نوع آرژیلیکی-سیریستی-فریک است ولی دگرسانی از نوع کاثولینیتی-آلونیتی نیز در منطقه زیاد به چشم می‌خورد. این نوع از دگرسانی‌ها، به خصوص نوع اول آن ارتباط تنگاتنگی با فعالیت شاره‌های گرمایی (هیدروترمال) دارد. به عبارتی این نوع از دگرسانی عمدها در دمای زیاد اتفاق می‌افتد.

## ۱۱- گرانی سنجی

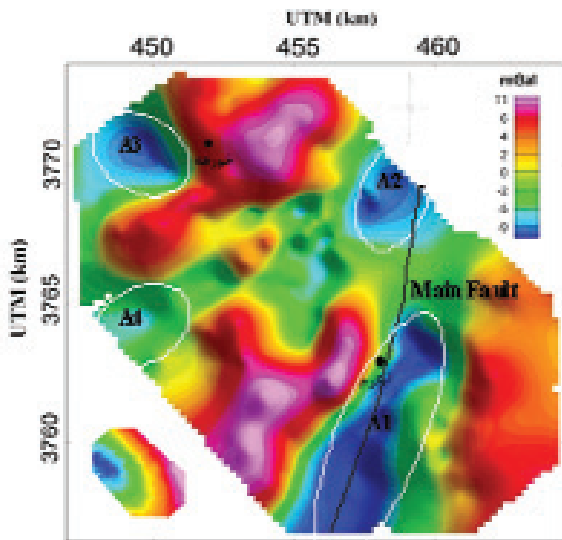
### ۱۱-۱- برداشت داده و اعمال تصمیمات

عملیات گرانی سنجی در پاییز و زمستان سال ۱۳۹۱ توسط ستاد فناوری انرژی‌های تجدید پذیر در منطقه مورد بررسی انجام شد. اندازه‌گیری‌های نسبی میدان گرانش زمین در این منطقه با استفاده از گرانی سنج CG5 ساخت شرکت سینترکس کانادا انجام گردید. دقت این دستگاه در حد ۵ میکروگال است. در این پژوهه در مجموع ۳۸۰ ایستگاه گرانی در محدوده‌ای به وسعت حدود ۲۰۰ کیلومتر مربع برداشت شد. تصویر ۳ موقعیت ایستگاه‌های را بر روی نقشه توپوگرانی منطقه نشان می‌دهد. فاصله بین ایستگاه‌ها با توجه به وضعیت توپوگرافی منطقه و امکان دسترسی به نقاط تعیین شده، بین ۲۰۰ تا ۴۵۰ متر است. به منظور تبدیل داده‌های گرانی نسبی به داده‌های گرانی مطلق از ایستگاه مبنای گرانی واقع در منطقه محلات (سازمان نقشه‌برداری کشور) استفاده شد. اندازه‌گیری‌های ارتفاعی و مسطحه‌ای نقاط گرانی برداشت شده، توسط دستگاه جی‌پی‌اس دو فرکانسه لایکا انجام و مقادیر ارتفاعی با استفاده از نقشه‌های توپوگرافی منطقه تأیید شد. مقدار خطای که برای این مقادیر برآورد شده در حد  $5 \pm$  سانتیمتر است.

تصحیح هوای آزاد با استفاده از فرمول انجمن بین‌المللی ژئودزی در سال ۱۹۶۷ و تصحیح بوگه با استفاده از مقدار چگالی میانگین پوسته ( $2767 \text{ g/cm}^3$ ) بر روی داده‌های گرانی برداشت شده انجام شد. تصحیح توپوگرافی نیز به روش هامر (Hammer) با استفاده از نقشه‌های توپوگرافی  $725000$  منطقه، محاسبه و انجام گردید.

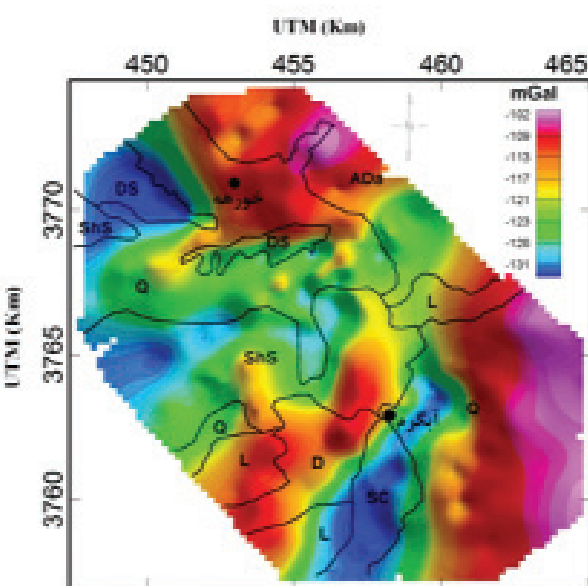
در تصویر ۴ نقشه بی‌亨جارتی بوگه کامل نشان داده شده است. به منظور تعبیر و تفسیر راحت‌تر، مرز واحدهای سنگ‌شناسی اصلی بر

و یا بهم ریختگی بی‌هنچاری‌های محلی نمی‌شد. سپس با کم کردن میدان گرانی منطقه‌ای از میدان گرانی بوگه کامل، بی‌هنچاری محلی محاسبه شد. در تصویر ۵ نقشه میدان‌های منطقه‌ای و محلی نشان داده شده است.



تصویر ۵- نقشه بی‌هنچاری گرانی باقی‌مانده. زون‌های A1 تا A4،  
بی‌هنچاری‌های گرانی منفی می‌باشند که به عنوان مخازن احتمالی سامانه  
زمین‌گرمایی در منطقه محلات مورد توجه هستند.

چهار ناحیه با بی‌هنچاری منفی (A4 تا A1) در نقشه میدان گرانی باقی‌مانده در تصویر ۵ مشخص شده است که دو زون آن (A1 و A2) در امتداد گسل اصلی شناخته شده در منطقه هستند. روند این گسل معکوس (نورعلیئی و شاه‌حسینی ۱۳۹۱) تقریباً شمالی جنوبی است. موقعیت آن در تصویر ۵ با خط مشکی مشخص شده است. با توجه به نقشه زمین‌شناسی، بی‌هنچاری A1 با محل چشممه‌های آبگرم و همچنین با رخنمون‌های وسیع تراورتن‌ها در منطقه منطبق است. همچنین بیشترین دگرسانی‌های ناشی از فعالیت‌های گرمابی در این زون قرار گرفته است (پرخیال و همکاران ۲۰۱۳)؛ به همین دلیل به نظر پیدایش این بی‌هنچاری منفی گرانی شده است. زون A2 نیز در ناحیه‌ای با رخنمون سنگ‌های آذرین فلزیک واقع شده است و فعالیت گسل مذکور در این زون سبب خرد شدگی قابل توجهی در سنگ‌های این ناحیه شده است. عدم وجود دگرسانی‌های گرمابی، چشممه‌های آبگرم و رخنمون تراورتن در این زون، این ناحیه را از نظر



تصویر ۴- نقشه بی‌هنچاری بوگه کامل به همراه نمایش خطوط مرز واحدهای سنگ‌شناسی اصلی. SC: ماسه سنگ و کنگلومر، D: دولومیت، L: سنگ آهک، Q: رسوبات آبرفتی، ShS: شیل و ماسه سنگ، ML: سنگ آهک توده‌ای، DS: دولومیت و ماسه سنگ، ADA: آندزیت و داسیت.

## ۱۳- جدایش بی‌هنچاری محلی و منطقه‌ای

بی‌هنچاری بوگه به علت حضور ساختارهای بزرگ و عمیق دارای یک روند منطقه‌ای است. اثر این ساختارها به صورت بی‌هنچاری‌های با طول موج بلند در میدان گرانی ظاهر شده و سبب می‌شود که اثر بی‌هنچاری‌های کوچکتر و سطحی‌تر به خوبی دیده نشود. بنابراین به منظور بارزتر کردن بی‌هنچاری‌های مرتبط با منشا مورد مطالعه در منطقه محلات، جدایش بی‌هنچاری محلی و منطقه‌ای از بی‌هنچاری بوگه انجام شد. روش‌های متعددی برای انجام این جدایش وجود دارد؛ به طوری که برخی از آن‌ها بیشتر حالت تجربی و برخی بیشتر حالت تحلیلی دارند (به عنوان مثال: تلفورد و همکاران ۱۹۹۰). به منظور جدایش بی‌هنچاری محلی و منطقه‌ای از داده‌های گرانی منطقه محلات، چندین روش گوناگون از جمله برآشش چند جمله‌ای درجه یک و بالاتر و روش ادامه فراسو جهت محاسبه میدان منطقه‌ای بکار گرفته شد؛ اما نتایج برخی از آن‌ها به گونه‌ای سبب تضعیف و یا تقویت برخی بی‌هنچاری‌ها می‌شد که بر اساس تجربه مفسر قابل قبول نبود. بنابراین از روش برآشش یک سطح چند جمله‌ای درجه دوم به داده‌های گرانی مشاهده شده استفاده شد؛ به طوری که در این روش روند روند منطقه‌ای محاسبه شده سبب از بین رفتن

به این که گسل اصلی منطقه محلات از محل چشمه‌ها می‌گذرد و روند تقریباً شمالی-جنوبی دارد، دو نقشه مشتق جهتی افقی درجه اول محاسبه گردید؛ یکی در امتداد روند گسل اصلی (تصویر ۶ الف) به منظور مشخص کردن ساختارهای عمود بر این گسل و دیگری عمود بر جهت مشتق قبلی (تصویر ۶ ب) به منظور مشخص کردن ساختارهای با روند تقریبی هم جهت با گسل اصلی.

نقشه‌های مشتق نشان داده شده در تصویر ۶ به طور واضح اهمیت خطواره‌ها و گسل‌های اصلی در کنترل مخزن زمین‌گرمایی و تکامل چرخه سیالات هیدروترمال منطقه را نشان می‌دهد. در این شکل خطوط سیاه‌رنگ گسل‌های شناخته شده در نقشه زمین‌شناسی می‌باشد که بر روی این نقشه‌ها ترسیم شده و خطوط بریده-بریده سفید رنگ خطواره‌های شناسایی شده با استفاده از نقشه‌های مشتق افقی میدان گرانی است. همان‌طور که در این شکل مشاهده می‌شود، مهم‌ترین گسل‌های شناسایی شده (خطوط بریده-بریده سفید‌رنگ) در منطقه عمدتاً دارای روند تقریباً شمالی-جنوبی هم جهت با گسل اصلی شناخته شده هستند.

### ۱۳-۲-مشتق قائم

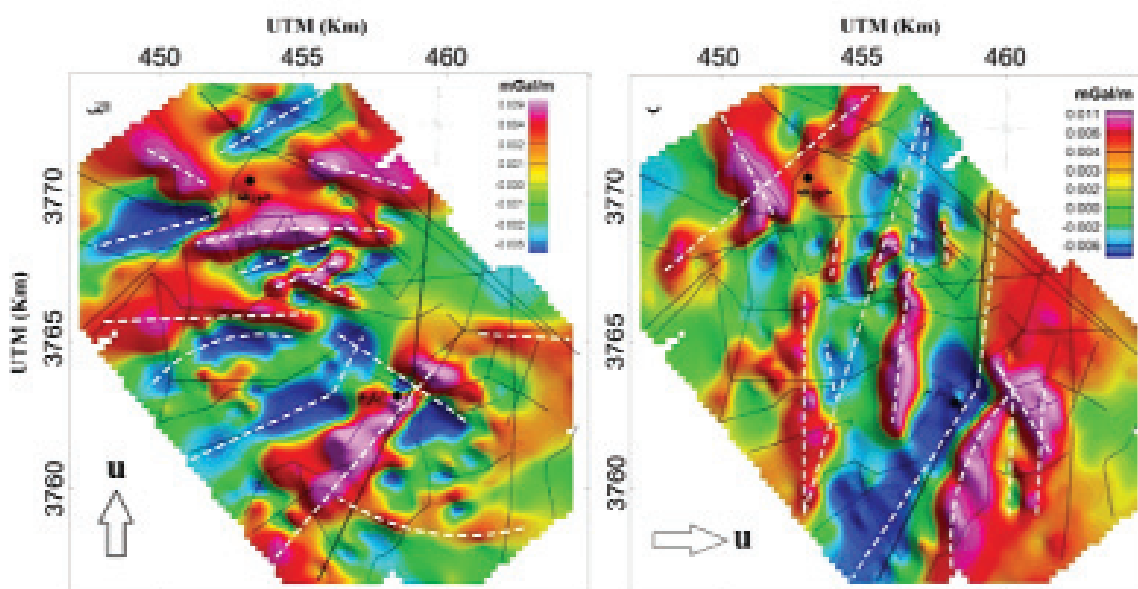
استفاده از فیلتر مشتق قائم یکی دیگر از روش‌های برآورد مرز

مخزن زمین‌گرمایی از اهمیت کمتری برخوردار می‌سازد. زون A3 در ناحیه‌ای با رخنمون‌های دولومیت، ماسه‌سنگ و شیل منطبق است. وجود رخنمون‌های قابل توجه، گسل‌های فعال و چشمه‌های گرانی سنجدی انجام شده، این زون نیز به عنوان یکی از پتانسیل‌های مخزن سامانه زمین‌گرمایی منطقه مورد توجه قرار گیرد. زون A4 در ناحیه‌ای با رخنمون‌های شیل و ماسه‌سنگ واقع شده است. این زون نسبت به سه زون قبلی دارای بی‌هنجری منفی ضعیف‌تری می‌باشد واز آن جایی که شواهد سطحی زمین‌گرمایی در این زون دیده نمی‌شود، بنابراین به نظر نمی‌رسد این بی‌هنجری ناشی از فعالیت سامانه زمین‌گرمایی در منطقه باشد.

## ۱۳-۳-مشتق جهتی میدان گرانی

### ۱۳-۳-۱-مشتق افقی

مشتق افقی درجه اول میدان گرانی در یک جهت خاص، سبب تقویت تعییرات جانبی در میدان گرانی و تضعیف روند منطقه‌ای در آن جهت می‌شود (نبیقیان ۱۹۸۴). در نواحی که تباين چگالی بیشتر است، مقدار مشتق به بیشینه یا کمینه خود می‌رسد؛ بنابراین ناپوستگی‌های عمود بر جهت مشتق، بارزتر شده و لبه ساختارها آشکارتر می‌شود. با توجه



تصویر ۶-نقشه‌های مشتق افقی درجه اول میدان گرانی بوگه. الف- نقشه مشتق افقی درجه اول در جهت شمال. ب- نقشه مشتق افقی درجه اول در جهت شرق. در این شکل خطوط سیاه رنگ گسل‌های شناخته شده در نقشه زمین‌شناسی می‌باشد که بر روی این نقشه‌ها ترسیم شده و خطوط منقطع سفید رنگ خطواره‌های شناسایی شده با استفاده از نقشه‌های مشتق افقی میدان گرانی است.

شکل این تابع هدف به گونه‌ای است که می‌تواند برای جنبه‌های ناخواسته ریاضی قابل قبول، از قبیل تمرکز چگالی در نزدیکی سطح، ساختار بسیار بزرگ و یا وجود چگالی‌های متفاوت، تصحیح شود. این تابع هدف، ناهمواری‌ها را در سه جهت فضایی جبران می‌کند و یک وزن دهنده سه بعدی بر اساس توزیع چگالی با عمق دارد. تابع های کمکی وزن دهنده سه بعدی در تابع هدف را می‌توان در ترکیب کردن اطلاعات بیشتر درباره مدل به کار برد. چنین اطلاعاتی ممکن است از کاوش‌های دیگر ژئوفیزیکی، داده‌های زمین‌شناسی و یا درک کمی و کیفی مفسر از ساختار زمین‌شناسی و ارتباط آن با چگالی سنگ‌ها باشد. راه حل عددی برای برگردان از راه تقسیم زمین به تعداد زیادی سلول، تحقق یافته است تا اجسام زمین‌شناسی پیچیده به طور نسبی ساخته شوند.

الگوریتم عرضه شده از سوی لی-اولدنبرگ از رابطه ۱ آغاز می‌شود:

$$d = Gp \quad (1)$$

در این رابطه  $d$  مربوط به داده‌های واقعی،  $G$  ماتریس حساسیت و چگالی سنگ‌ها در یک بلوك متعامد و شبکه‌بندی شده به منظور انجام مدل‌سازی است. مسئله برگردان به منزله یک مسئله بهینه‌سازی، فرمول بندی می‌شود که یک تابع هدف از مدل، با توجه به محدودیت‌های معادله کمینه می‌شود تا داده‌ها، با یک خطای قابل قبول بازتولید شود. فرض کنید تابع هدف به صورت زیر باشد:

$$(2)$$

$$\phi_m = a_s \int_V wsw^2(z)(p - po)^2 dv + \alpha x \int_V wx \{[\partial w(z) / \partial x](p - po)\}^2 dv + \alpha_y \int_V \{[\partial w(z) / \partial x](\rho - \rho_o)\}^2 dv + \alpha_z \int_V wz \{[\partial w(z) / \partial z](\rho - \rho_o)\}^2 dv$$

که در آن  $p$  مربوط به داده‌های واقعی،  $\rho_o$  مربوط داده‌های مدل،  $w_x$ ،  $w_y$  و  $w_z$ ،  $w$  تابع وزنی هستند.  $w$  تابع وزن دهنی عمقی است. مقدار عدم برآذش بین داده‌های مشاهده شده و داده‌های محاسبه شده با استفاده از رابطه زیر به دست می‌آید:

$$\phi_d = \|wd(d_{mod} - d_{obs})\|^2 \quad (3)$$

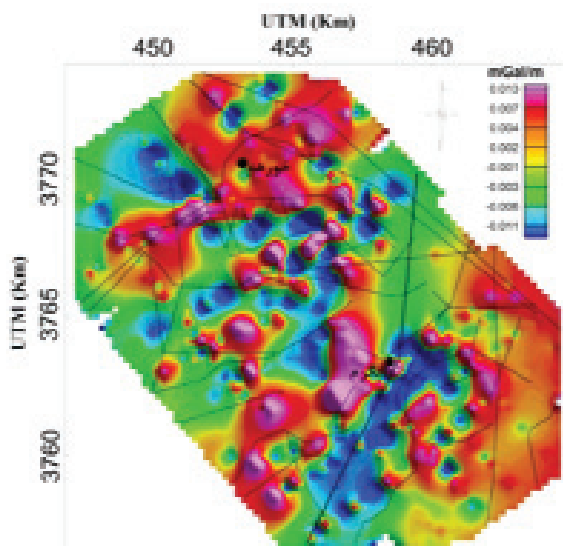
که در آن  $w$  به عنوان یک ماتریس قطری است که عنصر  $\delta_{ij}$  آن، انحراف استاندارد امین داده،  $d_{mod}$  چگالی محاسبه شده و  $d_{obs}$  چگالی برداشت شده است. هدف از این معادله وارون (معادله ۳)، کمینه کردن اختلاف بین تابع هدف و خطای برآذش داده‌ها است:

$$\phi = \phi_d + \mu \phi_m \quad (4)$$

بی‌هنجری‌های کم عمق و بارزتر کردن آن‌ها است. مشتق قائم عرض بی‌هنجری‌ها را باریک‌تر و موقعیت آن‌ها را با دقت بیشتری مشخص می‌کند (کوپر و کوان ۲۰۰۴). در این روش بی‌هنجری‌ها با طول موج کوتاه‌تر مربوط به ساختارهای کم عمق‌تر، بارزتر و بی‌هنجری‌های با طول موج بلندتر تضعیف می‌شوند (نبیقیان ۱۹۸۴). در تصویر ۷ نقشه مشتق قائم درجه اول از میدان گرانی بوگه منطقه مورد بررسی نشان داده شده است. همان‌طور که مشاهده می‌شود، بی‌هنجری‌های کوچک‌تر در کل منطقه و بخصوص در مرکز، با وضوح بیشتری نمایان شده‌اند. علت اصلی این بی‌هنجری‌ها، گسل خوردگی‌های شدید در منطقه می‌باشد. این موضوع با گسل‌های ساخته شده در منطقه انتبطاق قابل قبولی دارد.

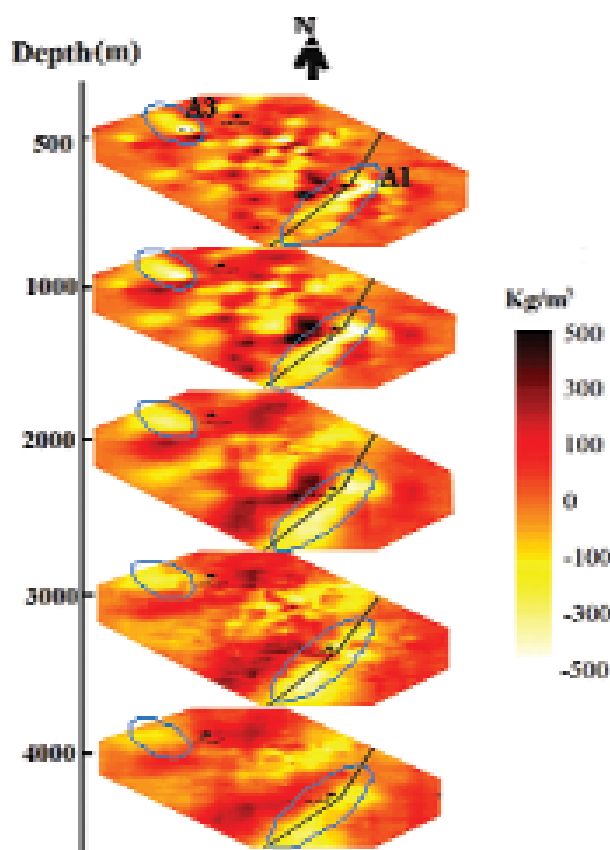
## ۴- برگردان سه بعدی داده‌ها

به منظور بررسی سه بعدی ویژگی‌های زمین‌شناختی سامانه زمین گرمایی محلات، برگردان سه بعدی داده‌ها توسط الگوریتم لی-اولدنبرگ (۱۹۹۸) در قالب نرم افزار Grav3D انجام شد. در رویکرد برگردان عرضه شده از سوی لی-اولدنبرگ که در این تحقیق مورد استفاده قرار گرفته است، ابتدا در مورد متغیری که تفسیر بر اساس آن صورت خواهد گرفت، تصمیم‌گیری می‌شود، که تابعی از چگالی مورد جستجو می‌باشد. سپس یک تابع هدف چند مؤلفه‌ای که دارای انعطاف‌پذیری کافی برای تولید انواع مدل باشد ساخته می‌شود.

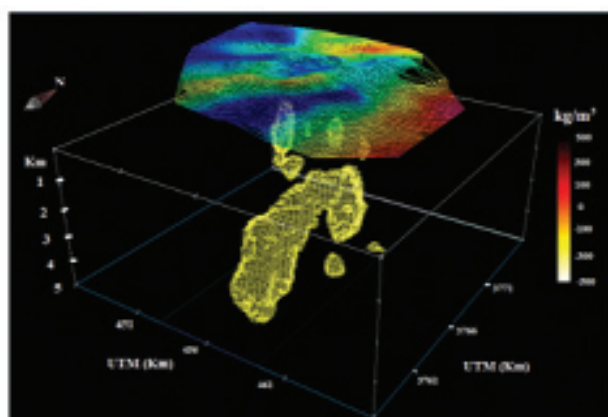


تصویر ۷- نقشه مشتق قائم درجه اول از میدان گرانی بوگه. خطوط سیاه رنگ گسل‌های ساخته شده در نقشه زمین‌شناسی می‌باشند.

گرفتیم و بنابراین به منظور نمایش مناسب‌تر این نواحی، سنگ‌های با تابیان چگالی کمتر از ۱۵۰-کیلوگرم بر مترمکعب را در تصویر ۹ نشان دادیم. همانطور که مشاهده می‌شود در این حالت فقط زون A1 از اعماق حدود ۴۰۰۰ تا ۱۰۰۰ متر از وضعیت بسیار مناسب‌تری نسبت به زون‌های دیگر برخوردار است.



تصویر ۸- مقدار تابیان چگالی سنگ‌ها در منطقه مورد بررسی تا عمق ۴ کیلومتر، با استفاده از الگوریتم لی-اولدنبرگ (۱۹۹۸).



تصویر ۹- نمایش مدل سه‌بعدی سنگ‌های با تابیان چگالی کمتر از متغیر ۱۵۰ کیلوگرم بر مترمکعب در منطقه زمین گرمایی مورد بررسی تا عمق ۵ کیلومتر، با استفاده از الگوریتم لی-اولدنبرگ (۱۹۹۸).

که در آن ۱۱ پارامتر تنظیم‌کننده است. جزئیات و توصیف‌های بیشتر در مقاله لی-اولدنبرگ (۱۹۹۸) موجود است.

تصویر ۸ و ۹ نتایج به دست آمده از این مدل‌سازی داده‌های گرانی منطقه مورد بررسی را تا عمق ۵ کیلومتر نشان می‌دهد. همان‌طور که در ستون رنگی راهنمای این شکل‌ها مشاهده می‌شود، تابیان چگالی برآورده شده در این مدل‌سازی در حدود +۵۰۰ تا -۵۰۰ کیلوگرم بر مترمکعب می‌باشد. در مدل به دست آمده سنگ‌های با چگالی بیشتر، با رنگ تیره و سنگ‌های با چگالی کمتر با رنگ روشن نمایش داده شده‌اند. تصویر ۸ بر شاهای از مدل تابیان چگالی سنگ‌ها تا عمق ۴۰۰۰ متر را نشان می‌دهد. با توجه به این شکل، گسل اصلی منطقه سبب ایجاد تابیان چگالی منفی در سنگ‌ها شده است و همان‌طور که بر اساس نقشه‌های مختلف میدان گرانی انتظار می‌رود، زون A1 که با این گسل منطبق است در همه برش‌های عمقی (تصویر ۸) نشان دهنده محدوده با تابیان چگالی منفی قابل توجهی است. این ناحیه، در بر عمق ۲۰۰۰ متر نسبت به عمق‌های دیگر، دارای پیوستگی و وسعت بی‌هنجاری مناسب‌تری است و بنابراین به نظر می‌رسد مخزن سامانه زمین گرمایی در این عمق از کیفیت بالاتری برخوردار باشد. در واقع فعالیت گسل اصلی منطقه و شاخه‌های فرعی آن سبب ایجاد شکستگی‌ها و درزه‌های زیادی در سنگ‌های این ناحیه شده و فضای مناسبی را برای چرخش سیالات بوجود آورده و در نتیجه سبب ایجاد یک مخزن زمین گرمایی شده است. شواهد زمین گرمایی در این ناحیه (زون A1) شامل وجود چشممه‌های آبگرم و دگرسانی‌های شدید ناشی از سیالات گرمایی این نتایج را تایید می‌کند.

ناحیه قابل توجه دیگری که سبب ایجاد بی‌هنجاری چگالی منفی در مدل به دست آمده شده است، زون A3، واقع در جنوب-غرب روستای خوره می‌باشد. این ناحیه نسبت به زون A1 از گستردگی کمتری برخوردار است. این ناحیه در برش‌های عمقی ۱۰۰۰ تا ۲۰۰۰ متر از وضعیت مناسب‌تری برخوردار است. زون‌های A2 و A3 به A1 عدم وجود تابیان چگالی قابل توجه در مدل به دست آمده، از درجه اهمیت بسیار کمتری برخوردار هستند.

در منطقه مورد بررسی، با استفاده از جدول چگالی سنگ‌ها توسط Blakely et al. 1990 در منطقه مورد بررسی، با استفاده از جدول چگالی سنگ‌ها توسط Blakely et al. 1990، تابیان چگالی کمتر از ۱۵۰-کیلوگرم بر مترمکعب را به عنوان نواحی مستعد مخزن زمین گرمایی در نظر

۱۳۹۲ پردازش و تفسیر داده‌های مغناطیس زمینی مرتبط با منابع زمین‌گرمایی با استفاده از دوشو AN-EUL، م. فیزیک زمین فضا، ۴۰(۳۹)، ۸۳-۹۶ نقشه زمین‌شناسی گلپایگان مقیاس ۱:۲۵۰۰۰۰، انتشارات سازمان زمین‌شناسی و اکتشافات معدنی کشور. نقشه توپوگرافی گلپایگان مقیاس ۱:۲۵۰۰۰۰، انتشارات سازمان نقشه‌برداری کشور.

نورعلیئی، ج. و شاه‌حسینی، ع.، ۱۳۹۱، گزارش زمین‌شناسی منطقه زمین‌گرمایی محلات. پژوهشگاه نیرو، گروه انرژی‌های نو.

**Abiye T.A. & Haile T., 2008.** Geophysical exploration of the Boku geothermal area, Central Ethiopian Rift. *Geothermics*, 37(6):586-596.

**Blakely, R.J., 1995.** Potential theory in gravity and magnetic applications, 1 ed. Cambridge Univ. Press, Cambridge.

**Cooper, G. R.J. & Cowan, D. R., 2004.** Filtering using variable order vertical derivatives: Computer and Geosciences, 30, 455-459.

**Gottsmann, J., Camacho, A.G., Martí J., Wooller, L., Fernández, J., García, A. & Rymer, H., 2008.** Shallow structure beneath the Central Volcanic Complex of Tenerife from new gravity data: implications for its evolution and recent reactivation. *Physics of the Earth and Planetary Interiors*, 168, 212-230.

**Li, Y. & Oldenburg, D. W., 1998.** 3-D inversion of gravity data, *Geophysics*, 63, 109-119.

**Montesinos, F.G., Camacho, A.G., Nunes, J.C., Oliveira, C.S. & Vieira, R., 2003.** A 3-D gravity model for a volcanic crater in Terceira Island (Azores). *Geophysical Journal International*, 154, 393-406.

**Nabighian, M.N., 1984.** Toward a three-dimensional automatic interpretation of potential field data via generalized Hilbert transforms: fundamental relations. *Geophysics*, 49, 780-786.

**Oskooi, B. & Darijani, M., 2013.** 2D inversion of magnetotelluric data from Mahallat geothermal field in Iran using finite element approach, Arabian J. Geosci., doi:10.1007/s12517-013-893-6.

**Oskooi, B., Darijani, M. & Mirzaie, M., 2013.** Investigation of electrical resistivity and geological structure on the hot springs in Markazi province of Iran using magnetotelluric method, *Bollettino di Geofisica ed Applicata*, 54, 245-256.

**Porkhial, S., Nouraliee, J. Rahmani, M. & Ebrahimi. D., 2013.** Resource assessment of Vartun geothermal region, central Iran, *J. Tethys*, 1, 29-40.

**Represas, P., Santos, F.A. & Ribeiro, J., 2013.** Interpretation of gravity data to delineate structural features connected to low-temperature geothermal resources at Northeastern Portugal, *J. Applied Geophysics*, 92, 30-38.

**Salem, A., Furuya, S., Aboud, E., Elawadi, E., Jotaki, H. & Ushijima, K., 2005.** Subsurface Structural Mapping Using Gravity Data of Hohi Geothermal Area, Central Kyushu, Japan. *Proceedings World Geothermal Congress*,

## ۵-نتیجه‌گیری

در این پژوهش داده‌های گرانی مربوط به یکی از مناطق زمین‌گرمایی مهم در ایران واقع در شمال شهر محلات مورد تحلیل و تفسیر قرار گرفت. هدف اصلی از این پژوهش شناسایی مخزن (های) زمین‌گرمایی در منطقه مورد بررسی به منظور هدف گذاری چاه‌های اکتشافی می‌باشد. نقشه گرانی محلی نشان‌دهنده وجود ۴ ناحیه با بی‌هنگاری گرانی منفی (زون A1 تا A4) در منطقه است. این زون‌ها به عنوان مخازن احتمالی سامانه زمین‌گرمایی مورد توجه قرار گرفت و بنابراین به منظور شناسایی بیشتر این نواحی مستعد، وارون‌سازی سه‌بعدی داده‌ها توسط الگوریتم لی-اولدنبیرگ انجام شد. با انجام این مدل سازی آشکار شد که زون A1 از وضعیت مناسب تری از نظر مخزن زمین‌گرمایی برخوردار است. نقشه‌های مشتقات میدان گرانی نشان‌دهنده وجود گسل‌های مهم و یا مرزهای سنگ‌شناسی (عمدتاً دارای روند تقریباً شمالی-جنوبی) در منطقه است. فعالیت این گسل‌ها سبب انتقال سیالات جوی از سطح به عمق شده و پس از داغ شدن در اعماق از طریق این مسیرها به بالا حرکت می‌کند و سبب تجمع آن‌ها در سنگ‌های کم عمق تا عمیق منطقه شده و شرایط تشکیل مخزن زمین‌گرمایی را ایجاد کرده است. نتایج وارون‌سازی داده‌های گرانی در تصویر ۹ به طور واضح اهمیت گسل‌ها به خصوص گسل اصلی منطقه در کاهش چگالی سنگ‌ها در زون A1 را نشان می‌دهد. بر اساس آن، مخزن زمین‌گرمایی محلات در زون A1 و در عمق ۱۰۰۰ تا ۴۰۰۰ متر قرار دارد. نشانه‌های سطحی انرژی زمین‌گرمایی شامل چشم‌های آبگرم و محدوده‌های دگر سانی شدید مرتبط با سیالات گرمایی، نتایج به دست آمده از روش گرانی سنجی را تایید می‌نماید.

## تشکر و قدردانی

از ستاد توسعه فناوری انرژی‌های تجدیدپذیر وابسته به معاونت علمی-فناوری ریاست جمهوری و گروه انرژی‌های نو پژوهشگاه نیرو برای در اختیار قرار گذاشتن داده‌های گرانی سپاسگزاری می‌گردد.

## مراجع:

میرزائی، م، محمدزاده مقدم، م، اسکویی، ب، قدیمی، ف. و جزایری، س،

Antalya, Turkey.

**Schiavone, D. & Loddo, M., 2007.** 3-D density model of Mt. Etna Volcano (Southern Italy). *Journal of Volcanology and Geothermal Research*, 164, 161-175.

**Soengkono, S., 2011.** Deep Interpretation of Gravity and Airborne Magnetic Data over the Central Taupo Volcanic Zone, *New Zealand Geothermal Workshop*.

**Telford, W.M., Geldart, L.P. & Sheriff, R.E., 1990.** Applied Geophysics, *Cambridge University Press*.